## МОСКОВСКИЙ ЭНЕРГЕТИЧЕСКИЙ ИНСТИТУТ (ТЕХНИЧЕСКИЙ УНИВЕРСИТЕТ)

Разработка математической модели и исследование характеристик системы автоматического слежения за задержкой сигнала СРНС

студент : Сан Вин Маунг.

Научный

руководитель: Замолодчиков В.Н. проф. к.т.н.

## постановка задачи

Изучение принципов построения СРНС.
Разработка математической модели системы слежения за задержкой сигнала СРНС.
Реализация и отладка модели в среде MatLab.
Анализ статистических характеристик временных дискриминаторов когерентного и некогерентного приемника.
Анализ переходных характеристик линейных фильтров.
Моделирование переходных характеристик систем ССЗ с использованием идеальных дискриминаторов.
Исследование переходных характеристик систем ССЗ с использованием моделей дискриминаторов.
Сравнение характеристик ССЗ с фильтрами второго и третьего порядков.
$\Gamma$

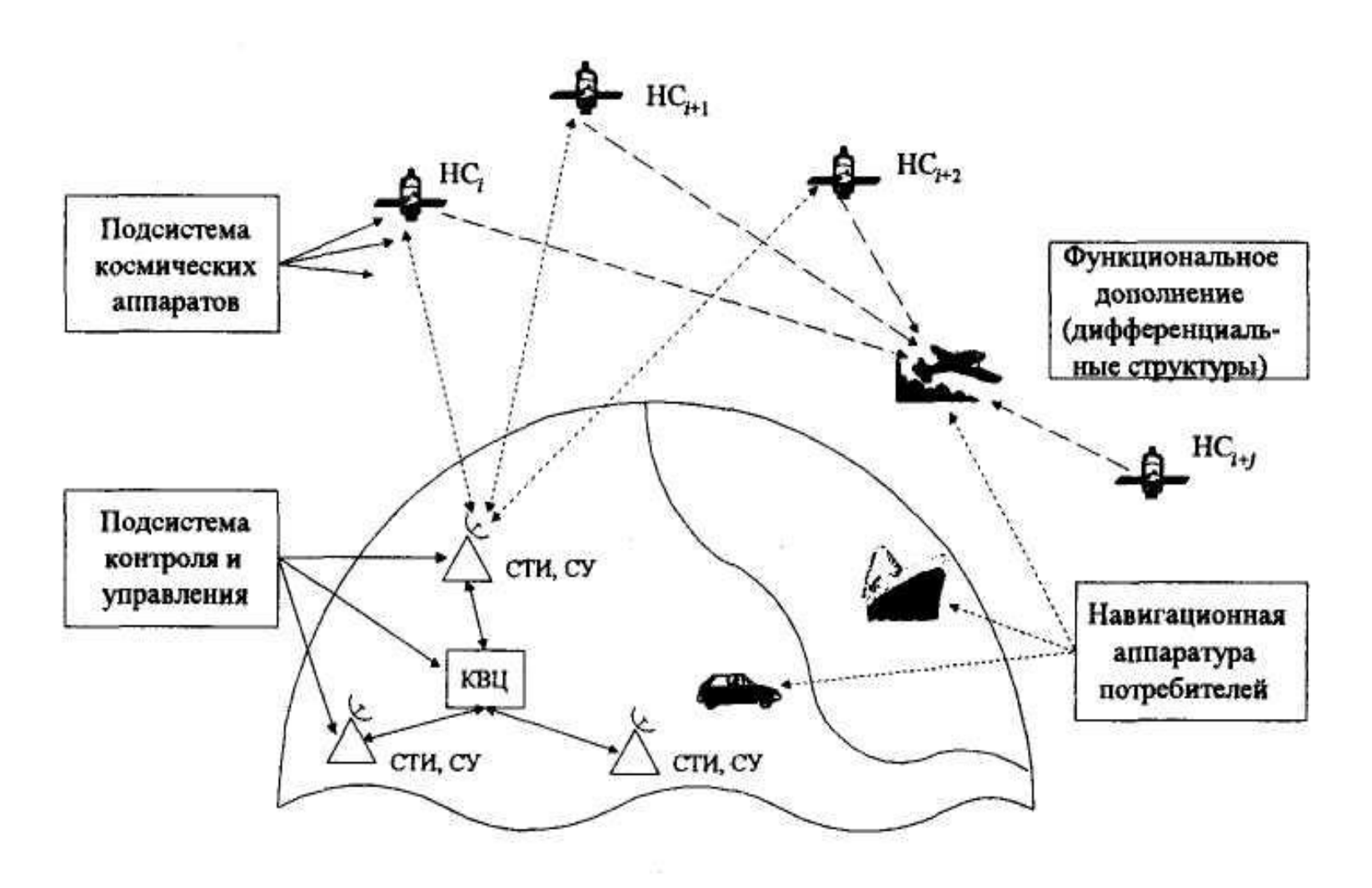


Рис. 1 Глобальная спутниковая радионавигационная система

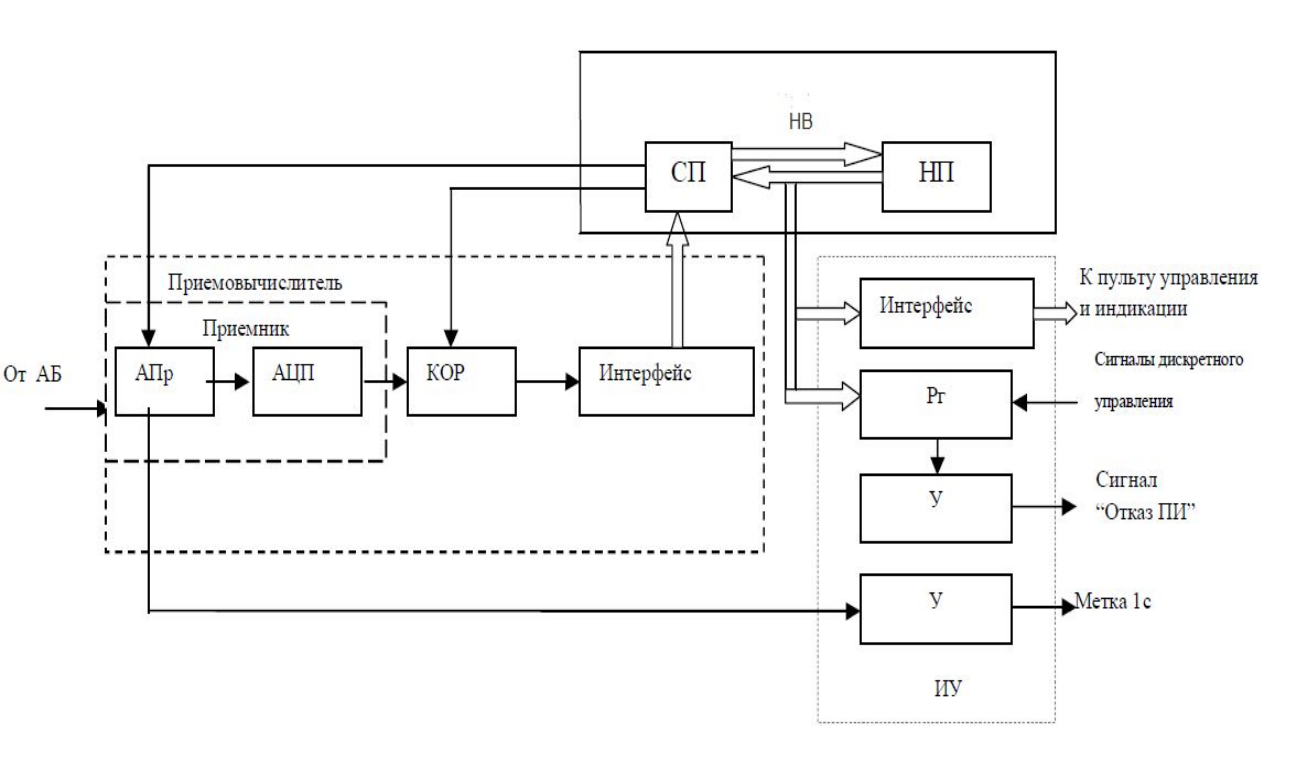


Рис. 2 Схема приемовычислителя

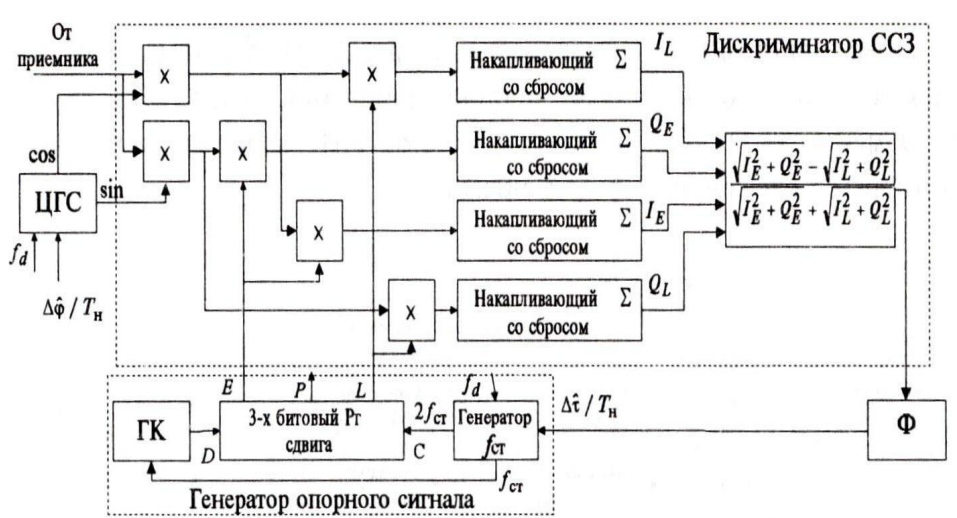
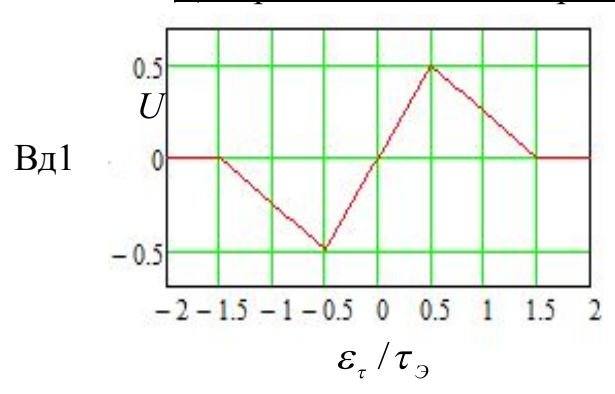


Рис.3 Схема ССЗ

#### 1. ИССЛЕДОВАНИЕ ДИСКРИМИНАТОРОВ

#### Аналитические результаты для временных дискриминаторов

Дискриминационные харатеристики когерентного приемника



$$u_{\partial \tau}(t_k) = (I_{E,k} - I_{L,k}) sign(I_k).$$

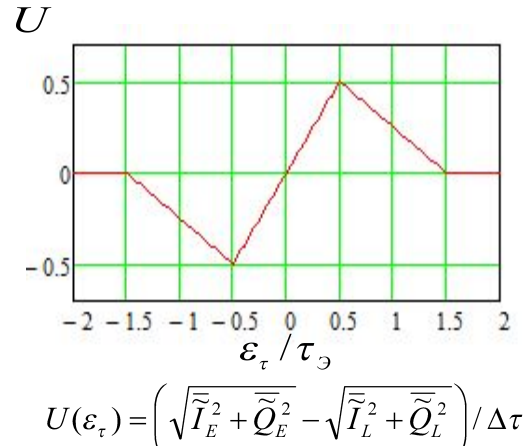
$$u_{\partial\tau}(t_k) = I_k(I_{E,k} - I_{L,k}),$$

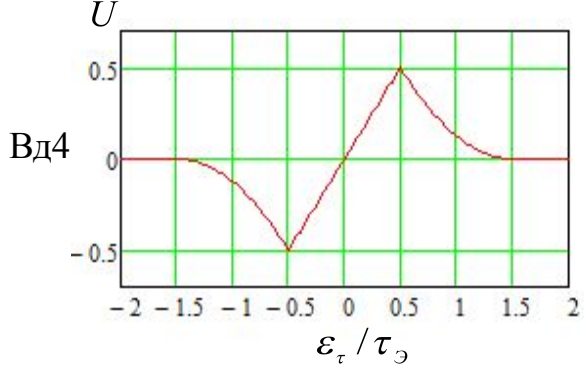
(а) при большом отношеним с/ш

(б) при малом отношеним с/ш

Дискриминационные харатеристики некогерентного приемника

Вд3





$$U(\varepsilon_{\tau}) = \left| \left( \overline{\widetilde{I}}_{E}^{2} + \overline{\widetilde{Q}}_{E}^{2} \right) - \left( \overline{\widetilde{I}}_{L}^{2} + \overline{\widetilde{Q}}_{L}^{2} \right) \right| / \Delta \tau$$
 (б) при малом отношенимс/ш

(а) при большом отношеним с/ш

Рис.4.Дискриминационные харатеристики временных дискриминаторов

### Т1. Характеристики дискриминаторов задержки огибающей сигнала

No	Отношение сигнал/шум	Алгорит м ВД	крутизна $S_{\mathcal{J}}$	Апертура ДХ (по первым нулям)	Дисперсия шума на выходе дискриминаторе	дисперсия, приведенная ко входу дискриминатора [c]
вді	$u_{\partial z}(t_k) = (I_{E,k} - I_{L,k}) sign(I_k).$	при малом q	$\frac{8q_{\varepsilon/n_0}^2T^2\cos^2(\varepsilon_{\varphi})}{\tau_{\mathfrak{z}}}$	±173	$16q_{\epsilon/n_0}^3 T^3 \left(1 + \frac{1}{2q_{\epsilon/n_0}T}\right)$	$\frac{\tau_s^2}{4q_{\varepsilon/n_0}T\cos^2(\varepsilon_{\varphi})}\left(1+\frac{1}{2q_{\varepsilon/n_0}T}\right)$
ВД2	$u_{\partial z}(t_k) = I_k (I_{E,k} - I_{L,k}),$	при большом q	$\frac{4q_{\varepsilon/n_0}T\cos(\varepsilon_{\varphi})}{\tau_{\mathfrak{z}}}$	± (3/2)* τ <sub>3</sub>	$4q_{\epsilon/\eta_0}T$	$\frac{\tau_{\mathfrak{s}}^2}{4q_{\mathfrak{c}/n_0}T\cos^2(\varepsilon_{\varphi})}$
вдз	$U(\varepsilon_{\varepsilon}) = \left(\sqrt{\widetilde{I}_{E}^{2} + \widetilde{\widetilde{Q}}_{E}^{2}} - \sqrt{\widetilde{I}_{L}^{2} + \widetilde{\widetilde{Q}}_{L}^{2}}\right) / \Delta t$	при малом q	$\frac{8q^2_{\varepsilon/n_0}T^2\mathrm{sinc}^2(\varepsilon_{\omega}T/2)}{\tau_{\mathfrak{s}}^2}$	± (3/2)*τ <sub>9</sub>	$\frac{16q_{c/n_0}^3 T^3 \operatorname{sinc}^2(\varepsilon_{\omega} T/2)}{\tau_s^2}.$ $\left[1 + \frac{2}{q_{c/n_0} T \operatorname{sinc}^2(\varepsilon_{\omega} T/2)}\right]$	$\frac{\tau_s^2}{4q_{\varepsilon/n_0}T\mathrm{sinc}^2(\varepsilon_\omega T/2)}.$ $\left[1 + \frac{2}{q_{\varepsilon/n_0}T\mathrm{sinc}^2(\varepsilon_\omega T/2)}\right]$
ВД4	$U(\varepsilon_{\varepsilon}) = \left\  \left( \overline{\widetilde{I}}_{E}^{2} + \overline{\widetilde{Q}}_{E}^{2} \right) - \left( \overline{\widetilde{I}}_{L}^{2} + \overline{\widetilde{Q}}_{L}^{2} \right) \right\  / \Delta \tau$	при большом q	$\frac{4q_{\varepsilon/n_0}T \mathrm{sinc}(\varepsilon_\omega T/2) }{\tau_{\mathfrak{s}}^2}$	± (3/2)*τ <sub>3</sub>	$\frac{4q_{c/n_0}T}{\tau_s^2}$ ,	$\frac{\tau_{s}^{2}}{4q_{\varepsilon/n_{0}}T \mathrm{sinc}^{2}(\varepsilon_{\omega}T/2) }$

#### 2. ИССЛЕДОВАНИЕ ФИЛЬТРОВ

#### Аналитические решения для переходных процессов ССЗ

ССЗ с непрерывным фильтром второго порядка при  $\sigma_a = 0.1 mc^{-2}$ ,  $q_{c/n_0} = 45 \partial E \Gamma u$ ,  $(\Delta F_{32,CC3} = 0.13 \Gamma u)$ .

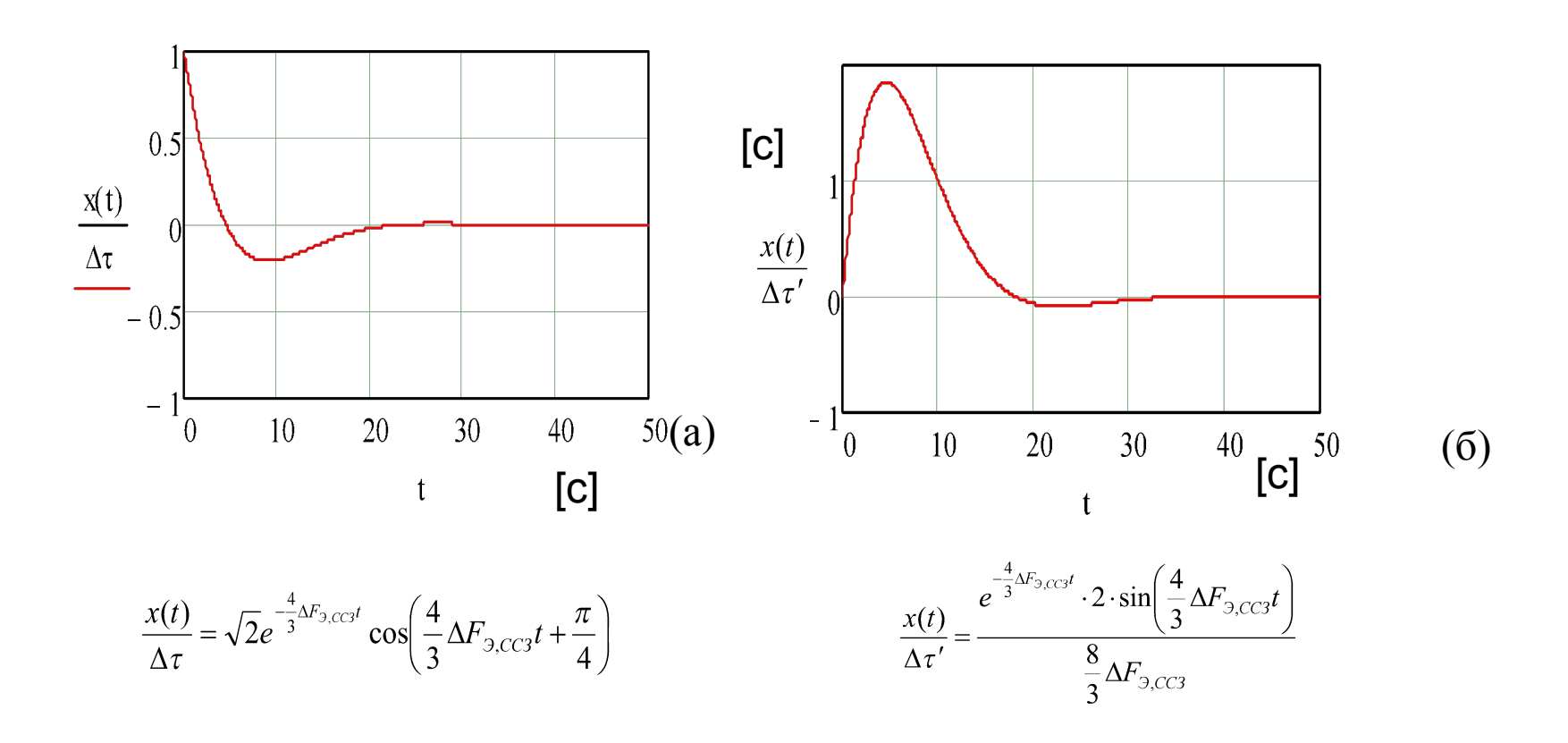


Рис. 5 Переходный процесс ССЗ (а) при ступенчатом входном воздействии, (б) при линейном входном воздействии

## Результаты моделировиния линейного дискретного фильтра второго порядка коэффициенты фильтра соответствуют параметрам $\sigma_a = 0.1 mc^{-2}, \quad q_{c/n_0} = 45 \partial \mathcal{B} \Gamma \psi. \quad (\Delta F_{92,CC3} = 0.13 \Gamma \psi)$

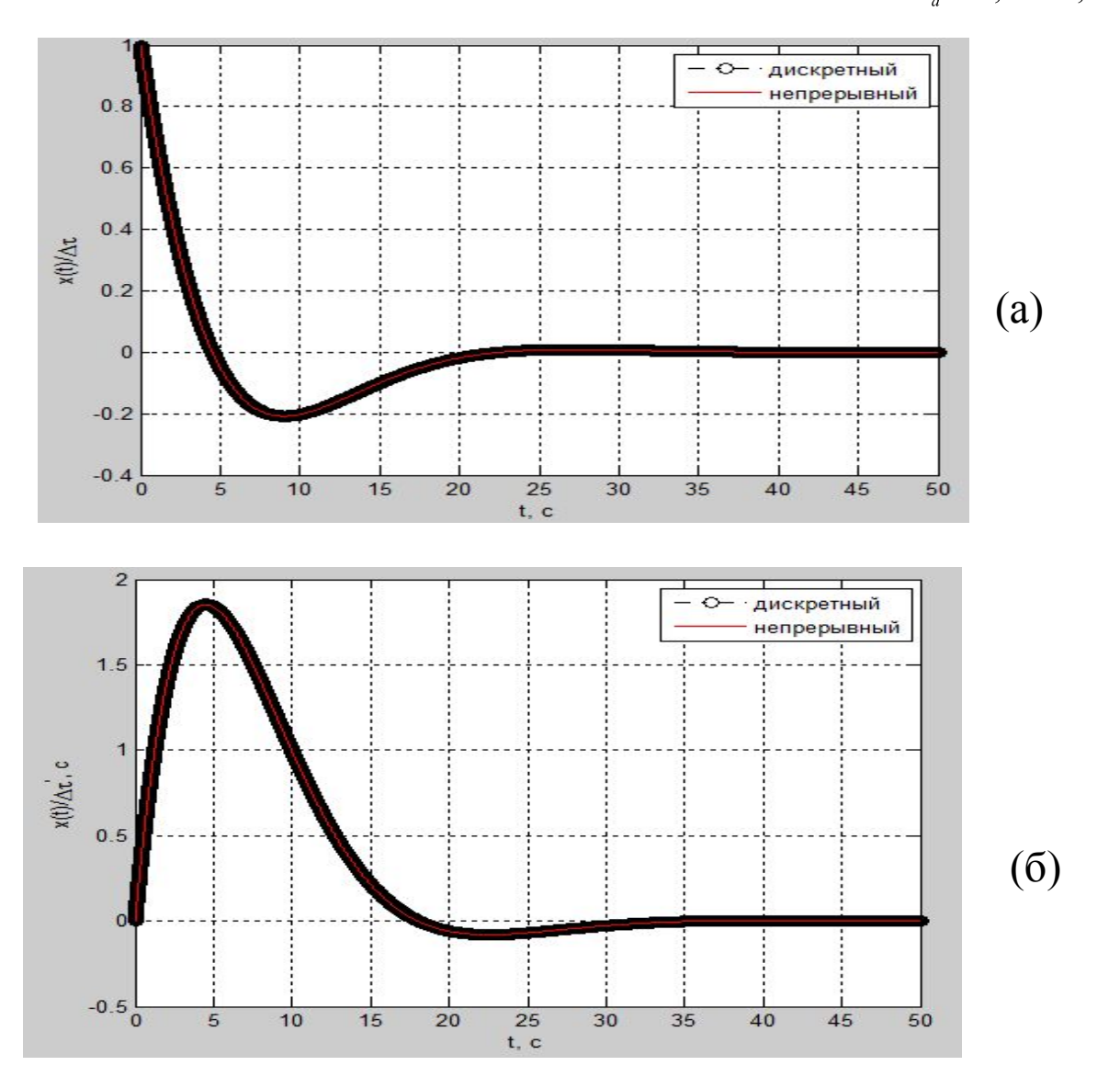


Рис. 6. Переходный процесс в дискретной модели ССЗ (а) при ступенчатом входном воздействии (б) при линейном входном воздействии

#### ССЗ второго порядка

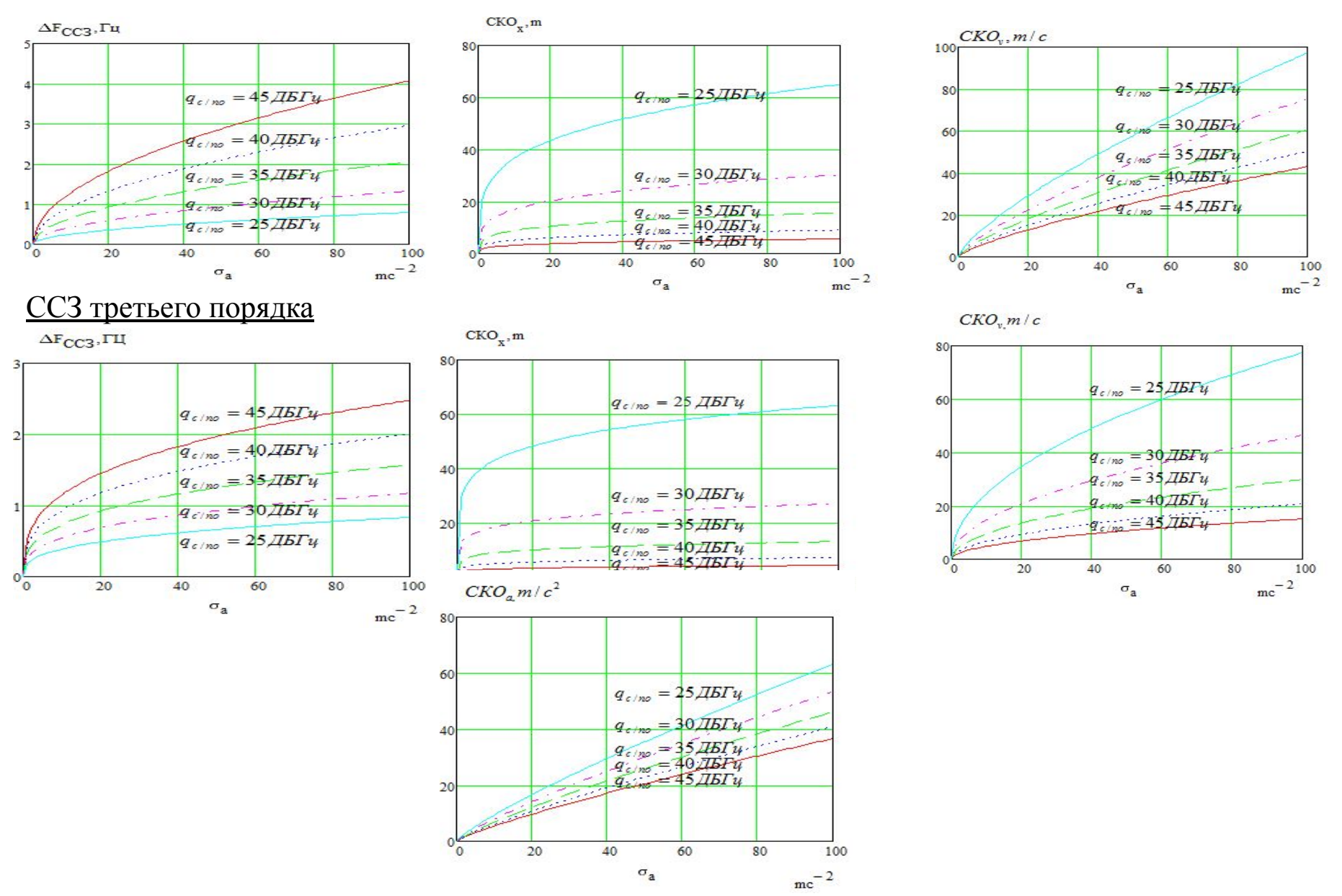


Рис.7. Аналитическое сравнение точностих характеристик ССЗ второго и третьего порядков

#### Исследование ССЗ с фильтром второго порядка

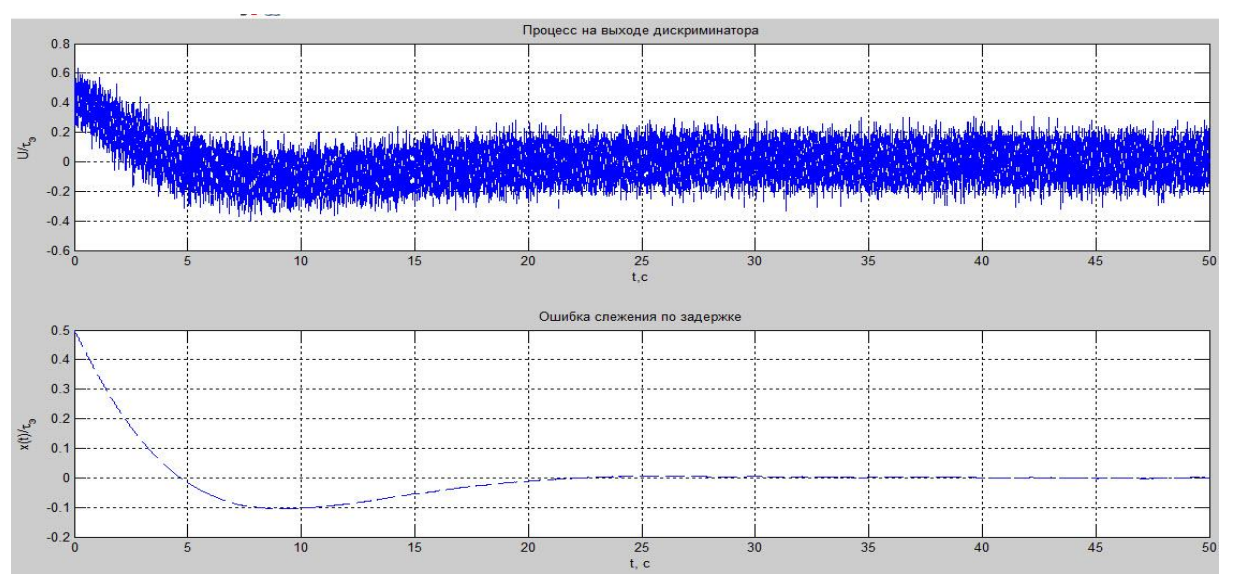


Рис.8.Процесс на выходе ВД и ошибка слежения для ступенчатого входного воздействия , при  $r(t) = 0.5\Delta \tau \cdot 1(t)$  критическое значение линейного участка дискриминационной характеристики.  $(\sigma_a = 0.1mc^{-2}, q_{c/n_0} = 45\partial E\Gamma u)$ .

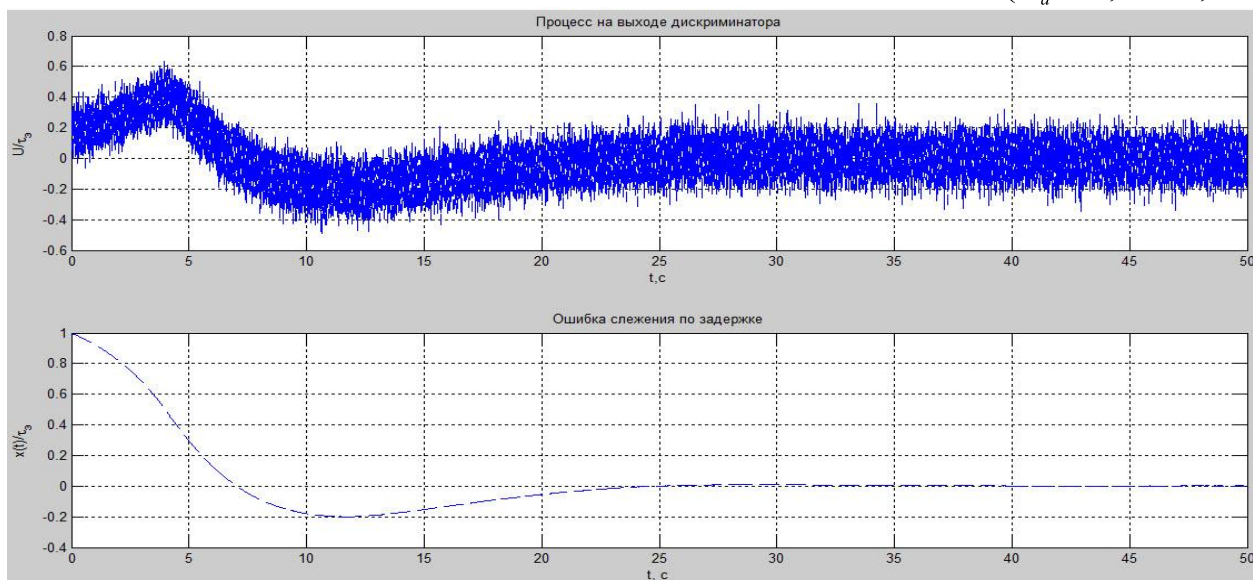


Рис.9. Процесс на выходе ВД и ошибка слежения для ступенчатого входного воздействия ,при слежения  $r(t) = 1 \cdot \Delta \tau \cdot 1(t)$  находится в пределах линейного участка дискриминационной характеристики.  $(\sigma_a = 0.1mc^{-2}, q_{c/n_0} = 45\partial \mathcal{B}\Gamma u)$ .

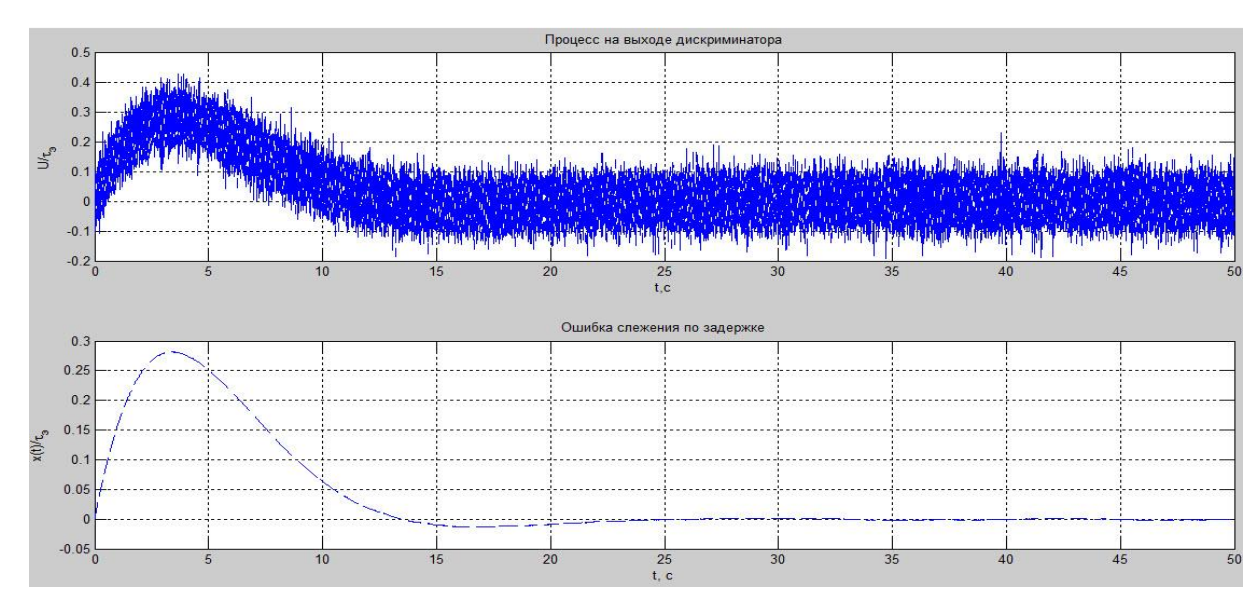


Рис.10.Процесс на выходе ВД и ошибка слежения для линейного входного воздействия , при  $r(t) = 0.2 \frac{MKC}{C} \cdot t$  ошибка слежения из линейного участка дискриминационной характеристики. ( $\sigma_a = 0.1 mc^{-2}$ ,  $q_{c/n_0} = 45 \partial E \Gamma u$ ).

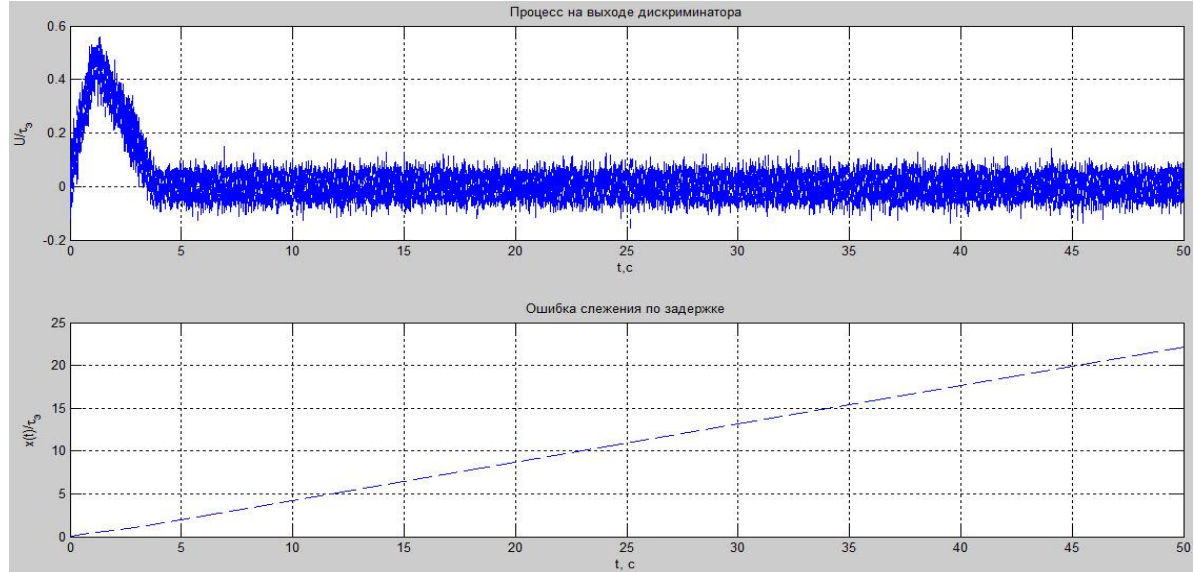


Рис.11.Процесс на выходе ВД и ошибка слежения для линейного входного воздействия , при r(t)  $\overline{e}$ рь  $\frac{MKC}{C} \cdot t$  слежения)  $(\sigma_a = 0.1 mc^{-2}, q_{c/n_0} = 45 \partial E \Gamma u)$ .

11

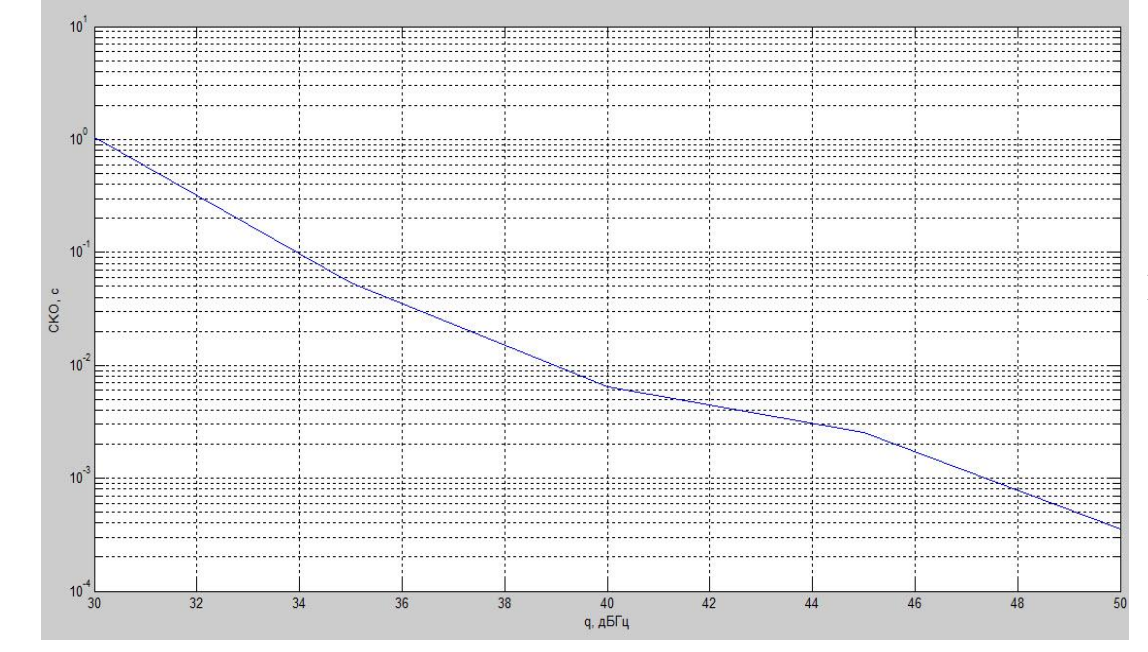
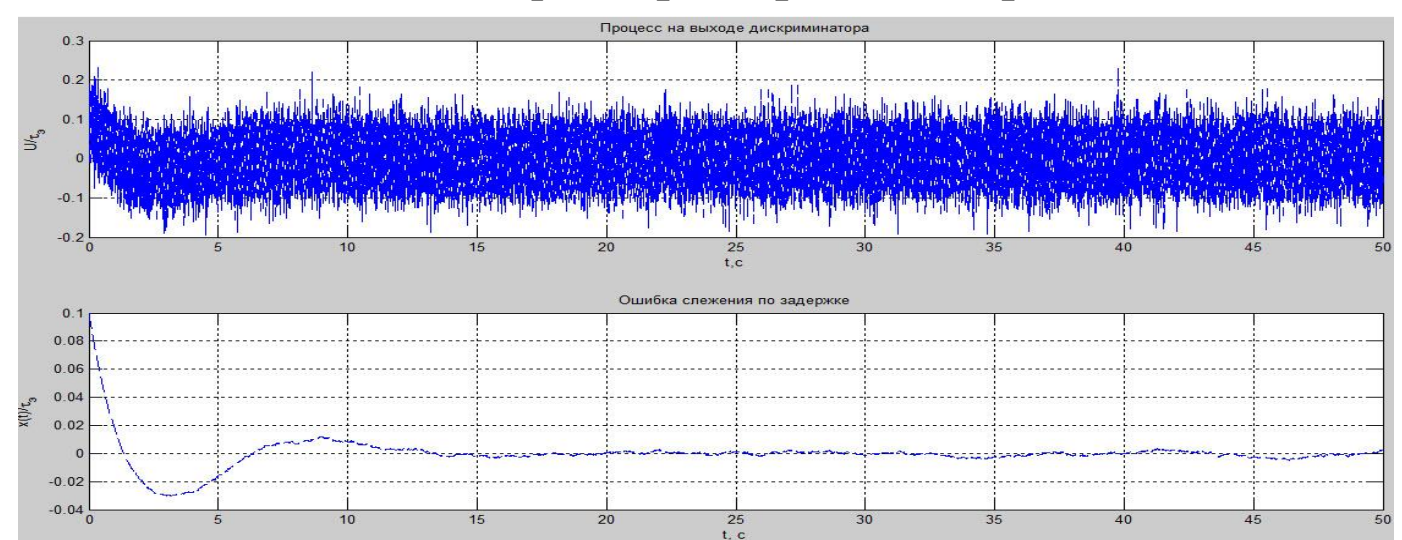


Рис.12. Зависимость СКО ошибки фильтрации от отношения сигнал/шум

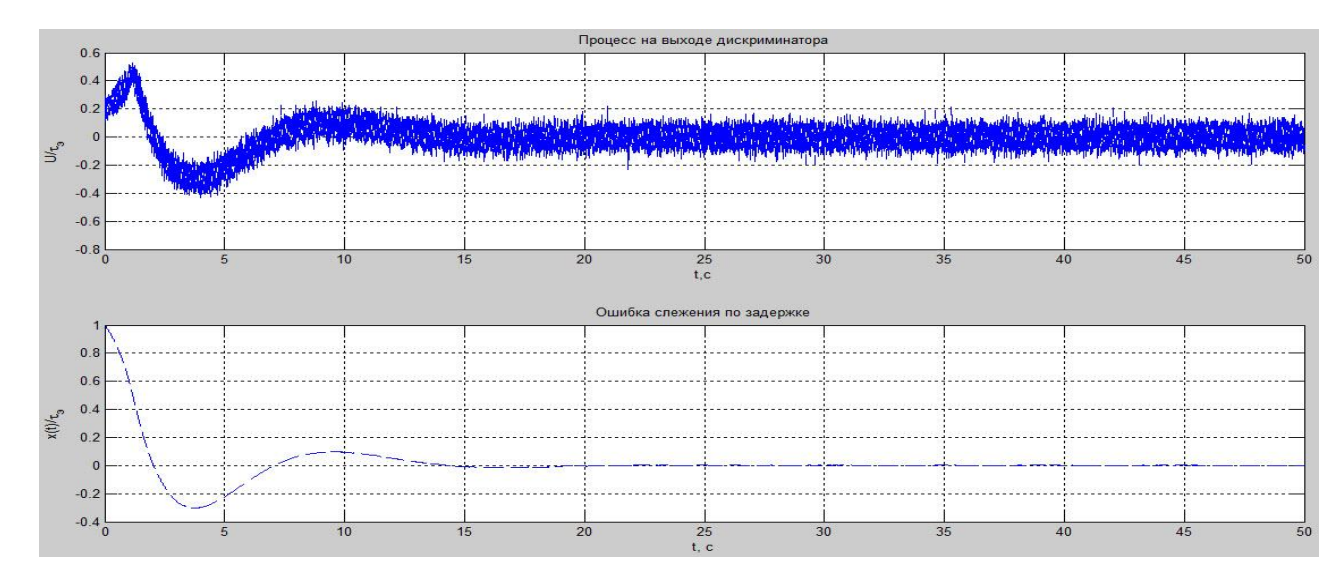
#### Исследование ССЗ с фильтром третьего порядка



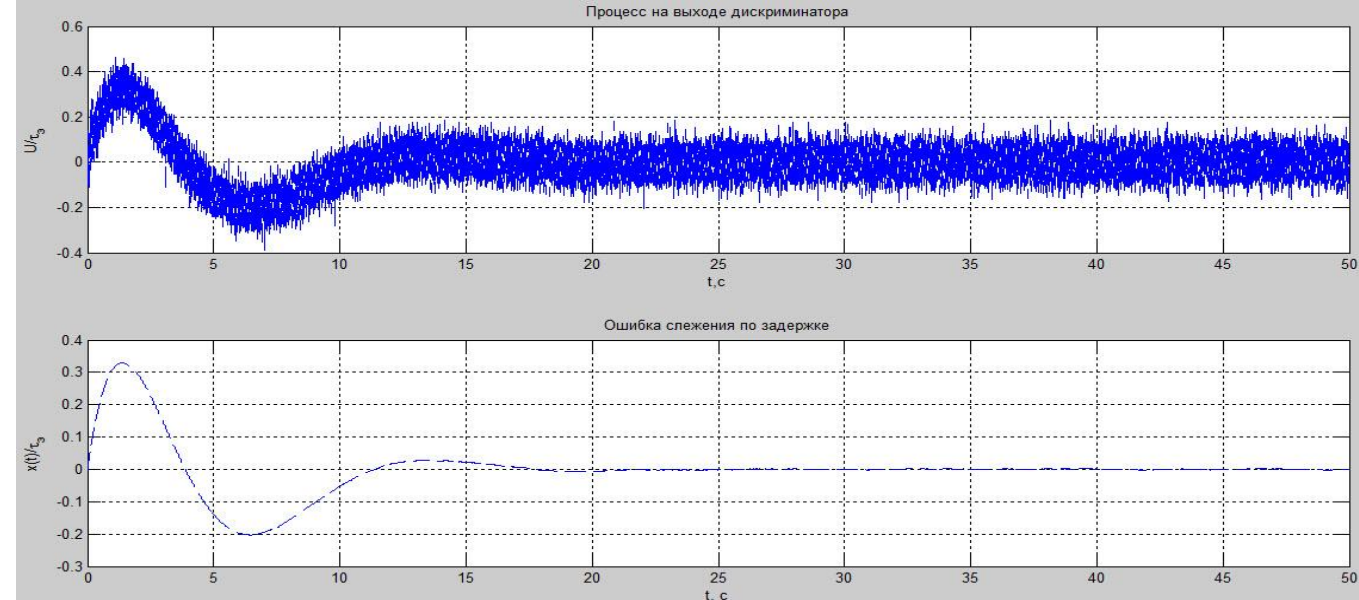
При.13.Процесс на выходе ВД и ошибка слежения для ступенчатого вход-ного воздействия , при ошибка слежения находится в пределах линейного участка дискриминационной характеристики.  $(\sigma_{_a}=0,1mc^{^{-2}},\ q_{_{c/n_0}}=45\partial E\Gamma u).$ 

 $r(t) = \Delta \tau 0.1(t)$ 

12



При.14.Процесс на выходе ВД и ошибка слежения для ступенчатого вход-ного воздействия , при  $r(t) = \Delta \tau 1(t)$  начальная ошибка выходит из линейного участка дискриминационной характеристики. ( $\sigma_a = 0.1 mc^{-2}, q_{c/n_0} = 45 \partial E \Gamma u$ ).



При.15.Процесс на выходе ВД и ошибка слежения для линейного вход-ного воздействия , при  $r(t) = 0.55 \frac{MKC}{QUIII}$  бка слежения лежит в пределах из линейного участка дискриминационной характеристики  $(\sigma_a = 0.1 mc^{-2}, \ q_{c/n_0} = 45 \partial B \Gamma u).$ 

В работе изложены принципы построения спутниковой
радионавигационной системы, приведены основные сведения о
параметрах систем ГЛОНАСС.
Рассмотрены особенности построения различных вариантов
временных дискриминаторов и фильтров.
Выполнено аналитическое сравнение точности ССЗ с фильтром
второго и третьего порядков.
Разработаны математические модели системы ССЗ.
Выполнены реализации моделей в среде MatLab.
Проведена отладка математической модели путем сравнения
результатов моделирования с известными аналитическими
результатами.
Получены переходные характеристики цифровых фильтров
систем ССЗ, второго и третьего порядков.
На разработанных математических моделях, выполнено
сравнение характеристик систем ССЗ второго и третьего
порядков.

# Спасибо за Внимание